

V-160 風作用下におけるコンクリートの収縮特性について

秋田工業高等専門学校 ○ 正員 庄谷征美
米谷裕

1. まえがき

近年、コンクリート構造物はその品質および機能等につれて多様化の様相を示し、従来のコンクリート性質に関する知識のみでは対応できない面を多く指摘されてきている。この様な現状のもとで、特に収縮に関する問題を見直し、再検討する意義は大きいと思われる。収縮に関する多くの要因の中、コンクリートの乾燥を助長する因子として風の影響を系統的に研究して例は少ないので、筆者たちは、この数年来の検討により風作用における過去にさかのびる点を指摘してきた。本研究は、この問題の一環として実施したもので、セメント種類、配合特性、骨材寸法、拘束鉄筋の有無や外的公環境温度などの関連における風作用下のコンクリートの収縮性状を明らかにすることを目的とし、併せて力学的性質についても一部検討し、以下に報告する。

2. 実験概要

用いたセメントは、普通セメント(N)、中庸熟成セメント(M)、早強セメント(E)および高炉セメント(B)である。細骨材は比重2.55、吸水率2.82%の天然砂で、 $f_{\text{m}} = 2.74$ の S_1 砂および $f_{\text{m}} = 2.37$ の S_2 砂の2ケースに分けて用いた。粗骨材は、比重2.68、吸水率2.52%の川砂利を使用した。配合条件として水セメント比は40%～70%範囲に選んだ。既往の概略と各実験シリーズとに試験項目、条件併せて以下に記す。

シリーズI： 相対湿度、セメント種別による収縮特性 — モルタル、試験開始日命 $T=1$ 日、供試体形状 $4 \times 4 \times 16$ cm 角柱、相対湿度 R.H. = 35, 50, 80%，風速 $V=0, 9$ m/sec (風作用期間 $l_v=50$ 日、乾燥期間 $l_d=50$ 日) — 単位水量 $W=270$ kg/m³、水セメント比 $W/C = 40, 55, 70\%$ 、セメント種別 N, E, M, B, S_2 砂

シリーズII： 配合要因変化による収縮特性 — コンクリート、 $T=1$ 日、形状 $10 \times 10 \times 20$ cm, R.H.=50%, $V=0, 8$ m/sec ($l_v=25$ 日, $l_d=150$ 日) — 目標入ランプ 2.5, 8, 12 cm, $W/C = 40, 55, 70\%$ 、セメント N, S_1 砂使用、粗骨材最大寸法 25 mm

シリーズIII： 骨材寸法、鉄筋拘束による収縮特性 — モルタル、 $T=1, 7$ 日、形状 $1 \times 1 \times 16$ cm, $4 \times 4 \times 16$ cm, $10 \times 10 \times 20$ cm (寸法), $10 \times 10 \times 40$ cm (R.C.), R.H. 50%， $V=0, 6$ m/sec (RC), 8 m/sec (寸法) ($l_u=35$ 日,寸法), 50日 (RC), $l_d=150$ 日) — $W=280$ kg/m³, $W/C = 40, 60\%$, セメント N, S_1 砂使用

シリーズIV： 風乾燥による力学的性質の変化 — コンクリート、 $T=7$ 日、形状 10×20 cm ランプ 9°, R.H. 50%， $V=0, 8$ m/sec — 目標スランプ 10 cm, $W/C = 45, 65\%$, S_1 砂使用、最大寸法 25 mm

練りませ工場製練りモルタル、モルタルキャリア用い、所定時間まで標準養生を施して、測定は 20°C の恒温恒湿室工室で用いて行い、計3台の巡回装置で用い風乾燥させた。収縮量はインクタクトゲージを用いて、表面部いずれかとして求めている。

表-1

3. 実験結果および考察

(1) 風作用を受けたことにより全般的に乾燥初期は収縮が促進され、その程度は乾燥の若いほど、水セメント比の小さなほど顕著となる傾向にある。今、無風下における時間たつ収縮量に対する風速下の収縮割合を収縮割合とし、SRで表現することとする。各相対湿度下における各種セメント、各水セメント比での乾燥10日および50日のSRを求め、普通セメントの場合の同条件下でのSRと比較を評価することにより、セメント種別の

R.H. (%)	N	E			M			B			乾燥 日数
		W/C .40	.55	.70	W/C .40	.55	.70	W/C .40	.55	.70	
35	1.0	/	/	/	1.00	0.99	0.98	0.96	0.98	1.05	10 日
	1.0	/	/	/	1.01	0.99	0.97	0.97	1.00	1.01	
50	1.0	1.06	1.01	1.01	1.07	1.08	1.06	/	/	/	10 日
	1.0	1.04	1.04	1.05	1.06	1.06	1.05	/	/	/	
80	1.0	0.93	1.04	1.02	1.08	1.07	1.12	/	/	/	10 日
	1.0	0.96	1.02	1.08	1.02	1.04	1.05	/	/	/	

違いによる影響を判定できる。風速 9 m/sec 下において、多少の変動はあるが早強ポセメントと高炉 B種は普通ポセメントと大差ない結果を示しており、中庸熟成では低温時に比べては普通ポセメント低下、高温時には増大する傾向が明瞭に認められた。この原因として、強度発現特性が深く関連しているように思われる（表-1）。各温度条件での SR を調べると、全般に相対温度の増大と共に収縮割合は上に凸の形で増加する傾向にあり、平均的には R.H. 50% とすると SR は 35% で 0.9、80% で 1.2 1.08 程度と見積もられる。図-1

R.H. 35% と 80% の水セメント比の増加に伴ない SR が 1.8 下回る傾向が強く、特に中庸熟成で著しい。これは、低温と風作用の相乗して厳しい条件によるものと推測される。R.H. 大なら場合は、風により水分蒸発促進の効果が大きいためと考えられる（図-1, 図-2）。

(2) コンクリートの SR は目標スランプ値変化の影響を調べると、全般的に両者間に逆比例的な関係が認められるが、水分逃散の形態に関連して水セメント比によれば、傾向が異なる場合もある（図-3）。

(3) 一般的収縮量は、乾燥部表面積 S、体積 V、時間 t とすると $(S/V)^{1/3} \cdot t$ の関数として表示されるといわれたが、本研究で用いた 4 種の寸法比の範囲内では、SR も $n = 1/2$ 近くの値で統一的に表示できるようであり、寸法効果の影響を考慮する必要がある（図-4）。

(4) RC 部材の乾燥内部鉄筋が収縮拘束する二因にはならぶ、風速作用下での程度を把握するため鉄筋による収縮拘束率を求めた。鉄筋量が多く風時に拘束率は増加し、無風時より 4 割以上も増加する場合がある。なお、鉄筋量が同じ場合の拘束率は大いなるが、風の影響が大きい（表-5）。

(5) 乾燥により圧縮強度は一時的に増大し遅に弹性係数は低下する。風により弹性係数、ボアソン比共減少傾向にあるが特に後者は顕著である（図-6）。

最後に、本研究の遂行にあたり昭和 55 年度文部省科学研究費の補助を受けた事に記し感謝の意を表します。

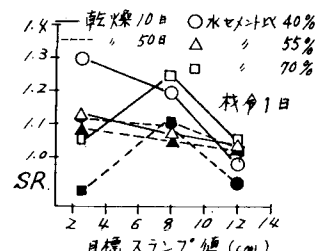
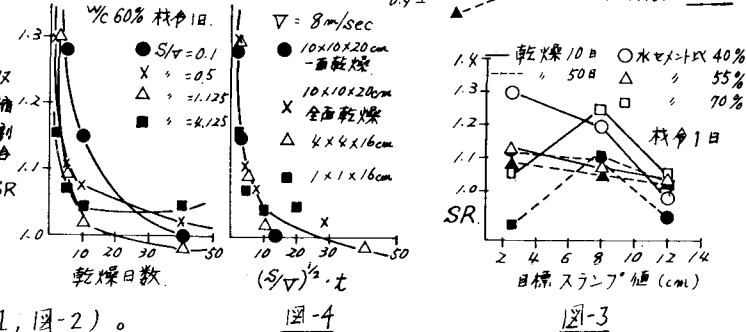
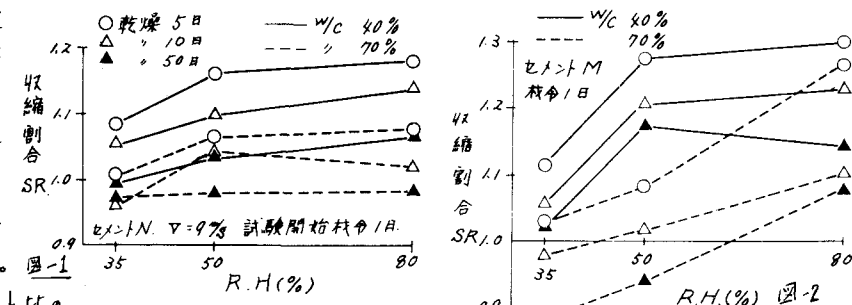


図-3

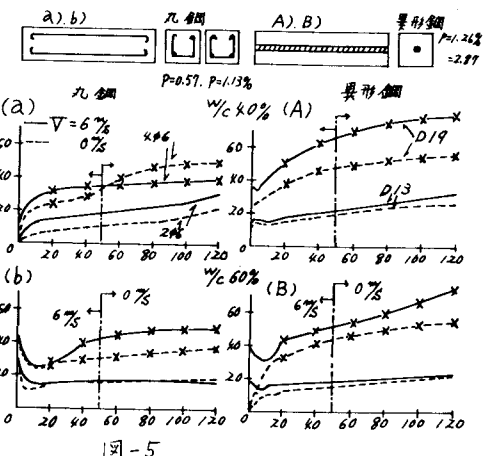


図-4

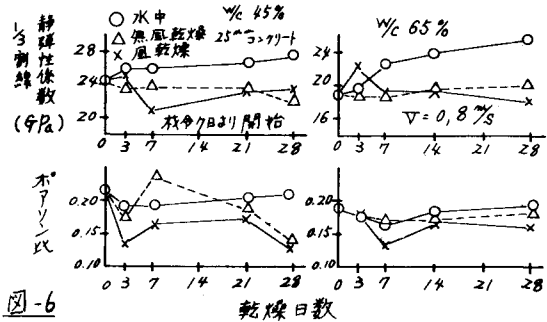


図-5